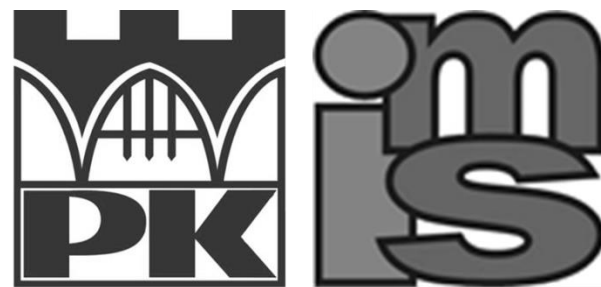


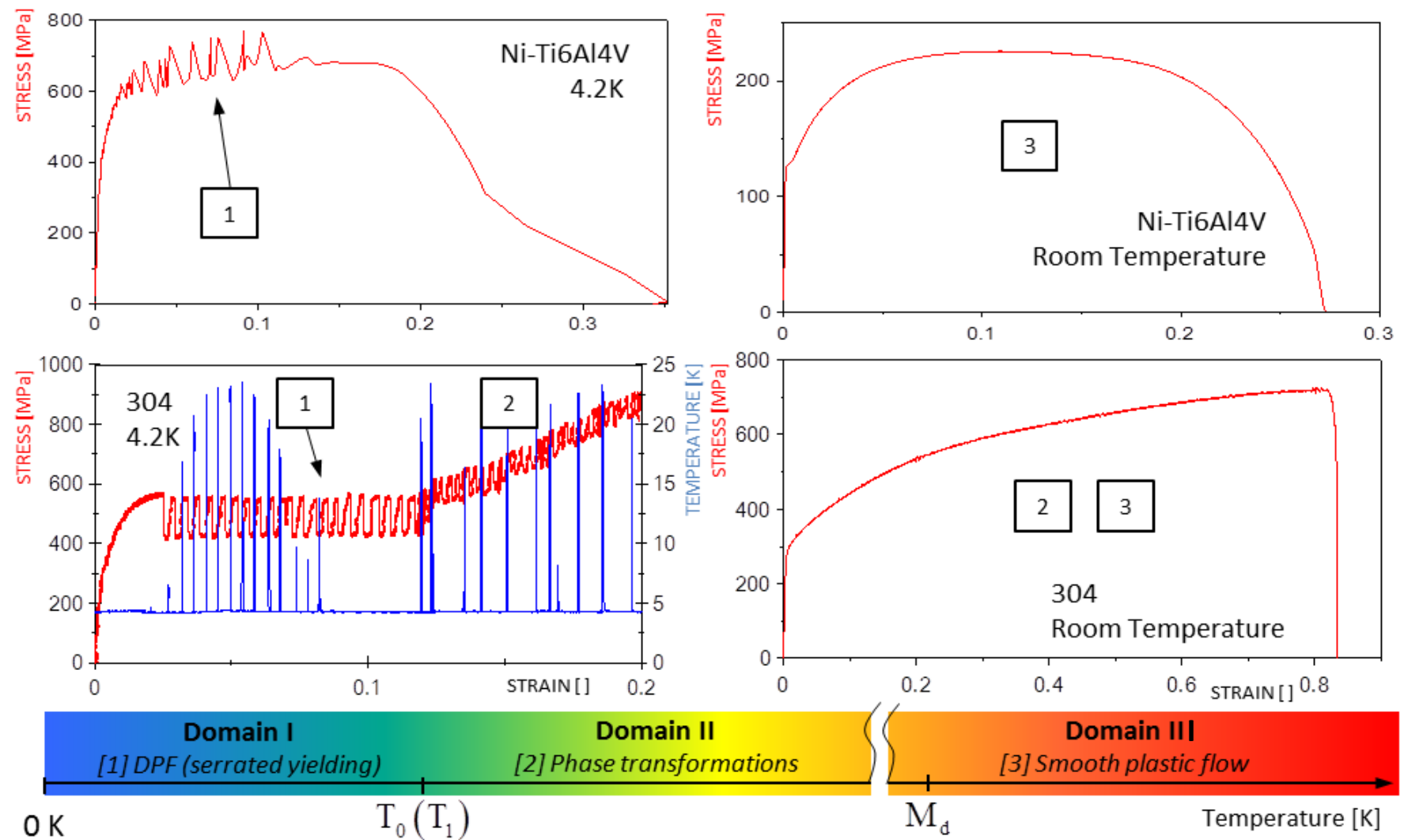
Experimental set-up for strength test at cryogenic temperature

Jakub Tabin, Błażej Skoczeń

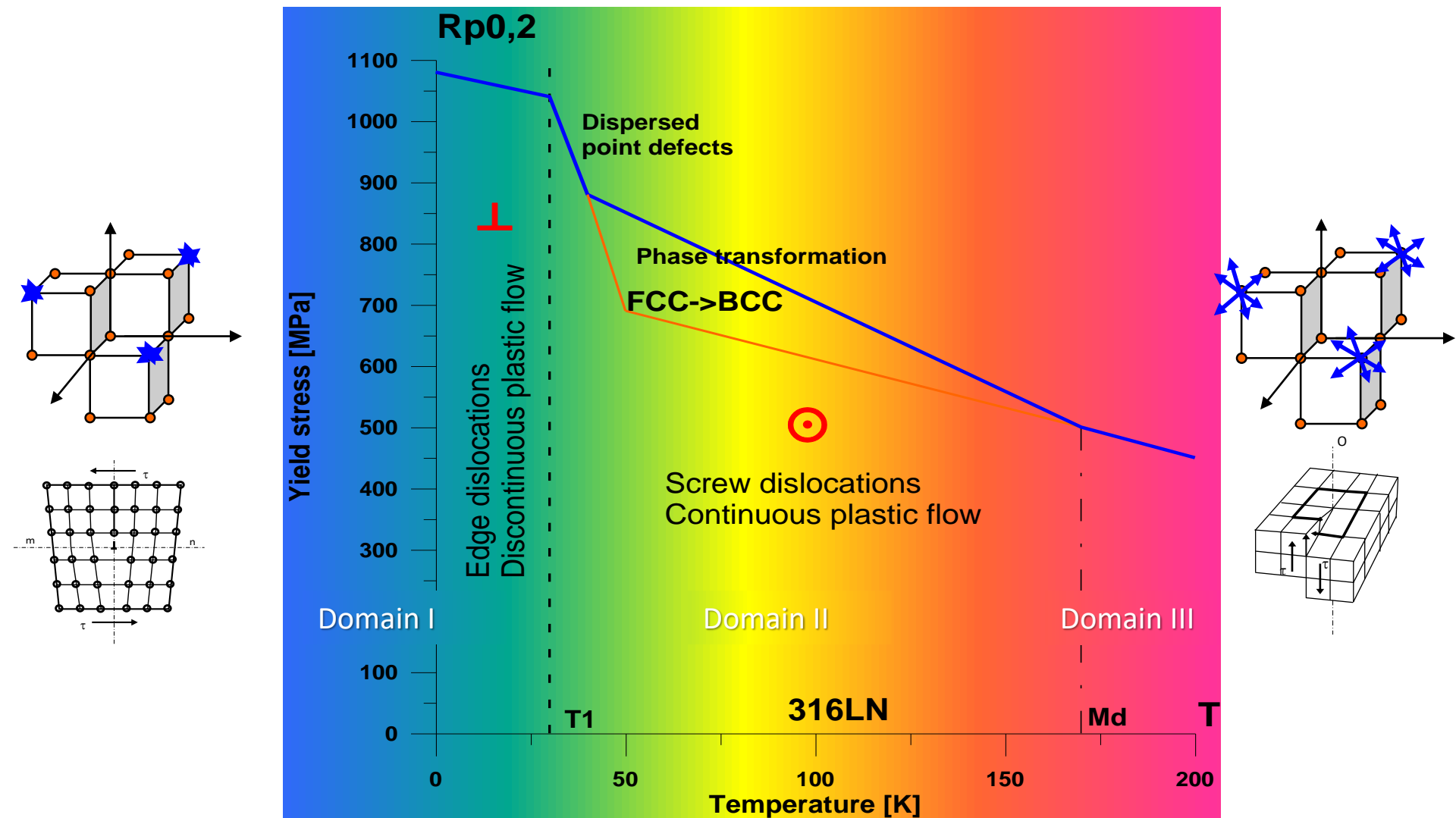


Instytut Mechaniki Stosowanej
Politechniki Krakowskiej
al. Jana Pawła II 37, 31-864 Kraków

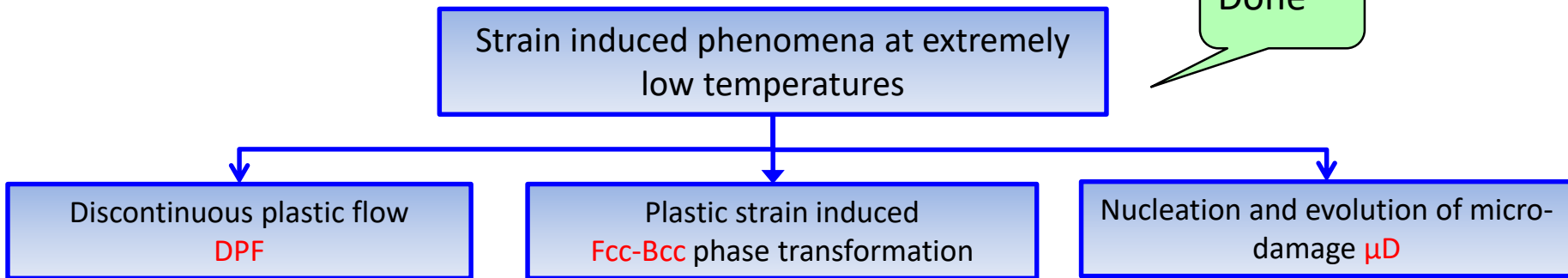
Strain induced phenomena as a function of temperature



Mechanisms of plastic flow at cryogenic temperatures

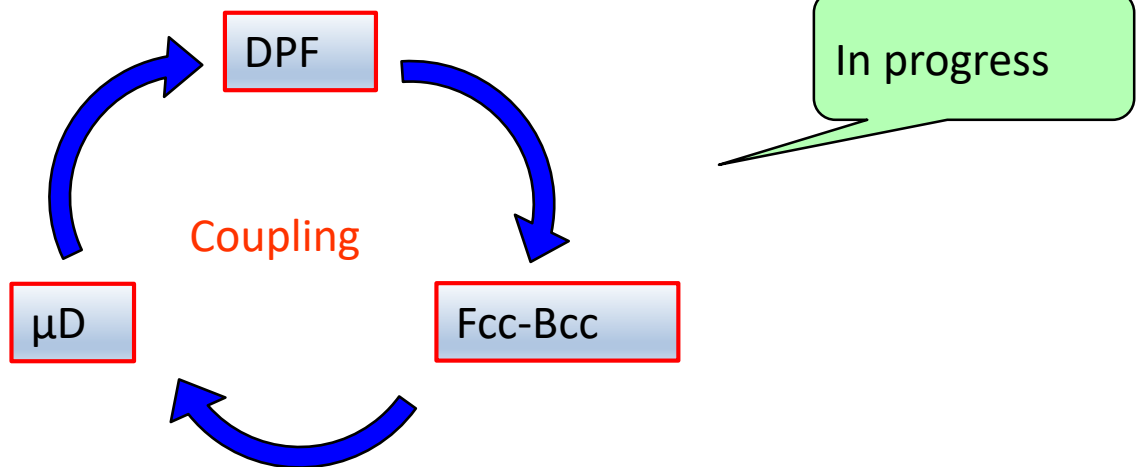


I stage: constitutive models of single phenomena



Done

II stage: coupling between the phenomena



In progress

Experimental set-up

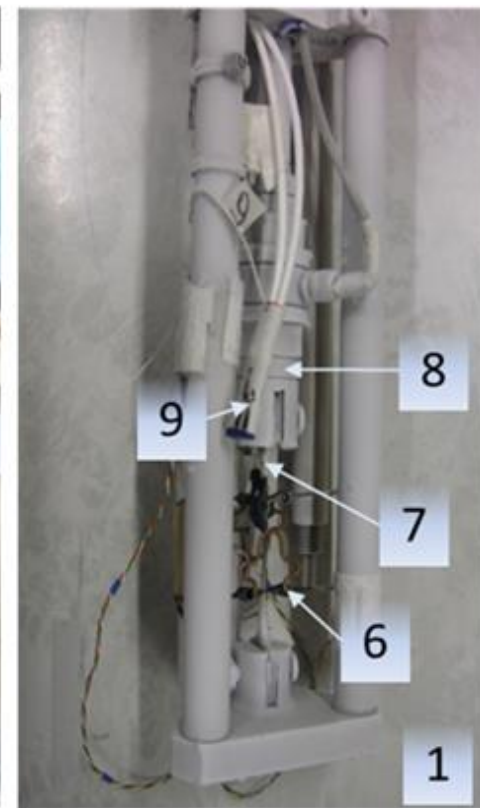
a)



b)



c)



Experimental set-up for: a) uniaxial tensile tests; b) combined loading; c) cryostat with equipment

(1- cryostat, 2- tensile test machine, 3- cryogen dewar, 4- cryogen transfer line, 5- DAQ system, 6- clip-on extensometers, 7- specimen, 8- force transducer, 9- thermistor)

Experimental set-up...



Experimental results

CERN

TS/MME/MM

TEST REPORT

Sample drawing

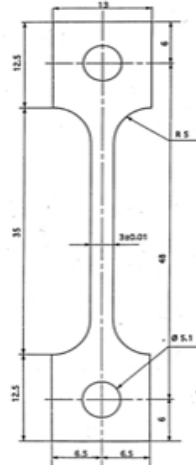
Test Data
Test Number
Material
Testing Temperature (K)
Samples
Width (mm)
Thickness (mm)
Section (mm^2)
Extensometer gauge length Le (mm)
Final gauge length Lu (mm)
Elongation after fracture A (%)
Young modulus (GPa)
Tensile strength Rm (MPa)
Proof strength Rp0.2 (MPa)
Stroke speed (mm/min)
Sampling frequency (Hz)
Tensile Test machine
Remarks

Cu OFE
4.2
sample 5

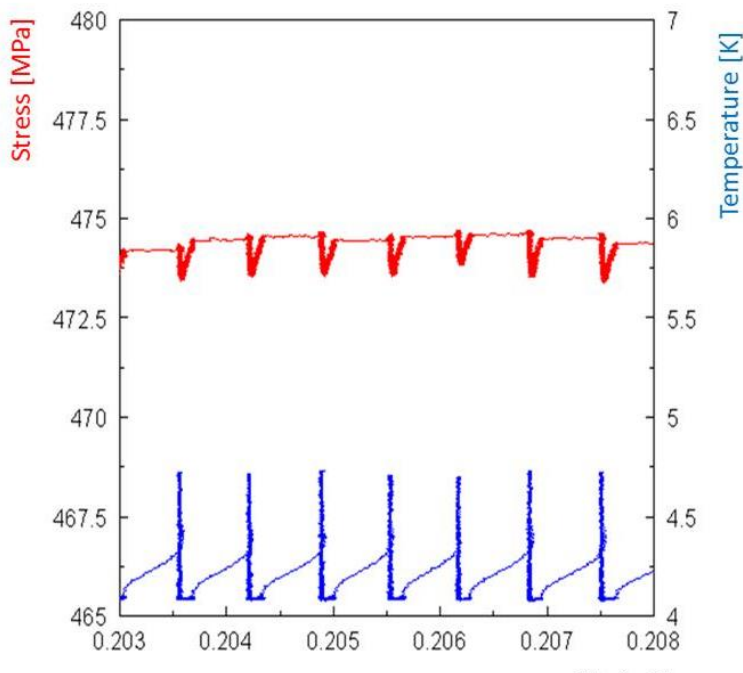
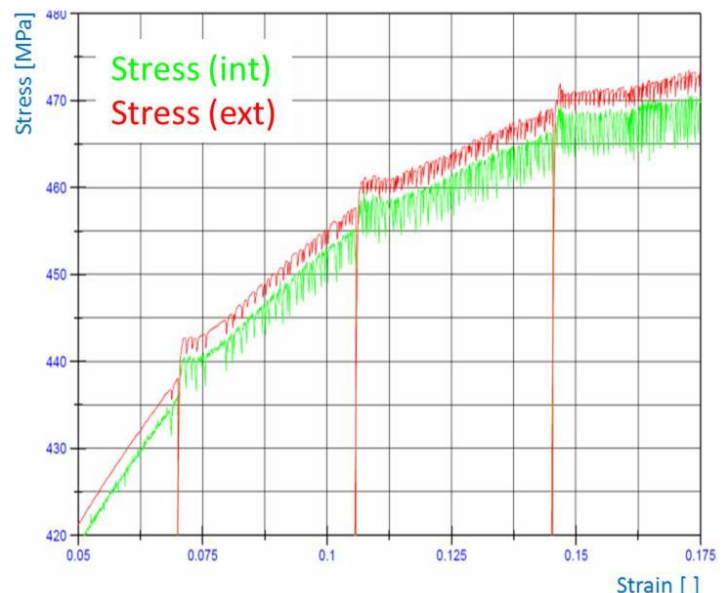
9.06
17.5

25.2
44
137
324

1.5



Tests carried out by Dawid Marcinik



Experimental results



INSTITUTE OF APPLIED MECHANICS



TEST REPORT

Sample drawing

Test Data
Test Number
Material
Testing Temperature (K)
Samples
Width (mm)
Thickness (mm)
Section (mm^2)
Extensometer gauge length L_e (mm)

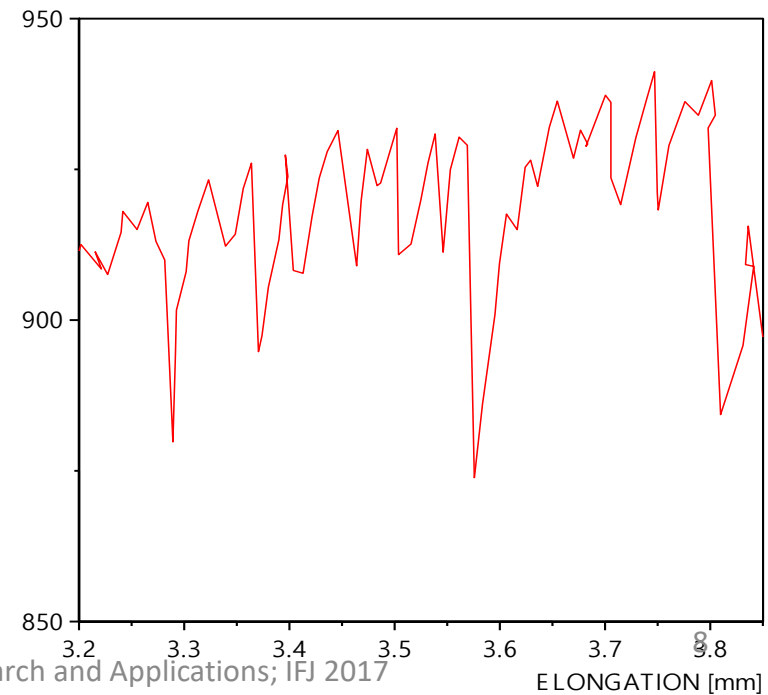
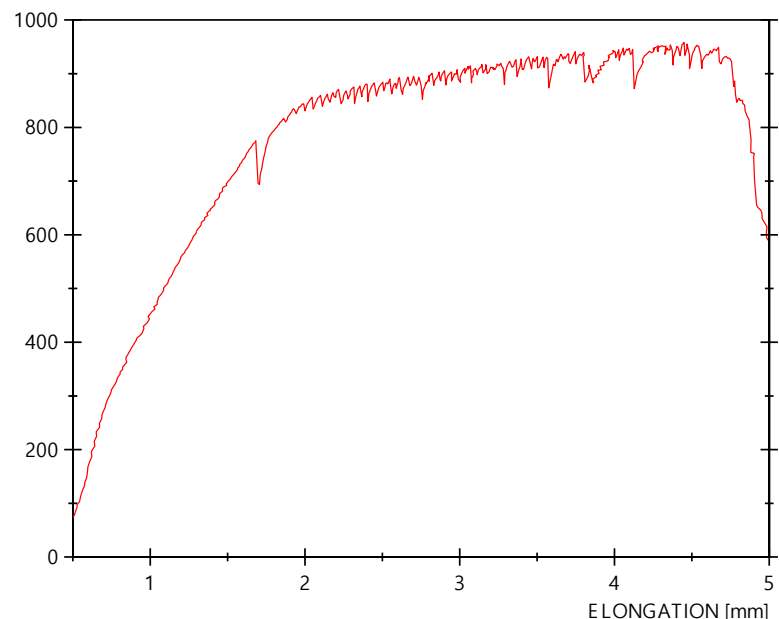
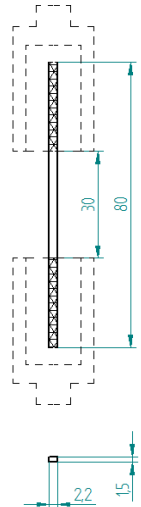
13
Cu/Ni-Ti
4.2
sample 2
2.2
1.50
3.30
20.0

Final gauge length L_u (mm)
Elongation after fracture A (%)
Young modulus (GPa)
Tensile strength R_m (MPa)
Proof strength $R_{p0.2}$ (MPa)

Stroke speed (mm/min)
Sampling frequency (Hz)
Tensile Test machine

0.5

INSTRON TT



Experimental results



INSTITUTE OF APPLIED MECHANICS

Test Data	
Test Number	13
Material	Cu/Ni-Ti
Testing Temperature (K)	4.2
Samples	sample 2
Width (mm)	2.2
Thickness (mm)	1.50
Section (mm^2)	3.30
Extensometer gauge length l_e (mm)	20.0

Final gauge length l_u (mm)	20
Elongation after fracture A (%)	x
Young modulus (GPa)	x
Tensile strength R_m (MPa)	x
Proof strength $R_{p0.2}$ (MPa)	x

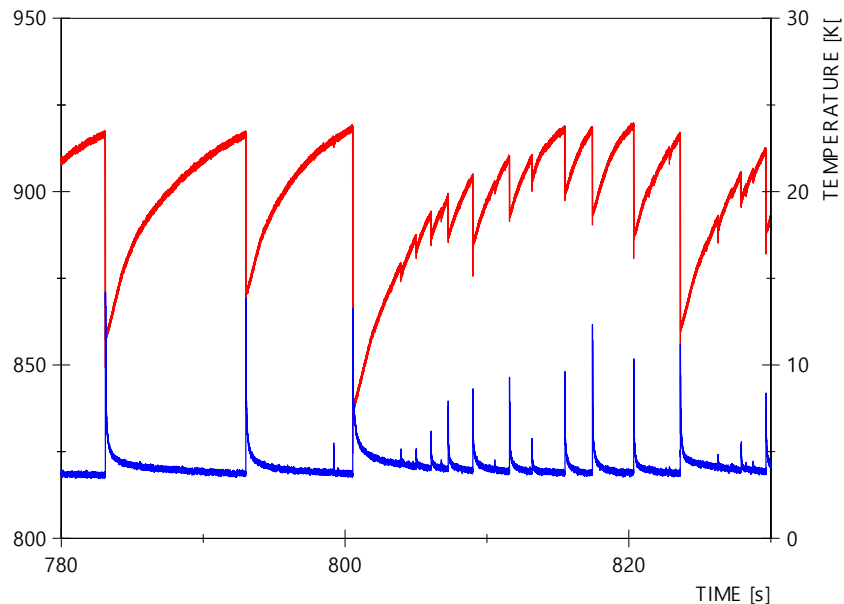
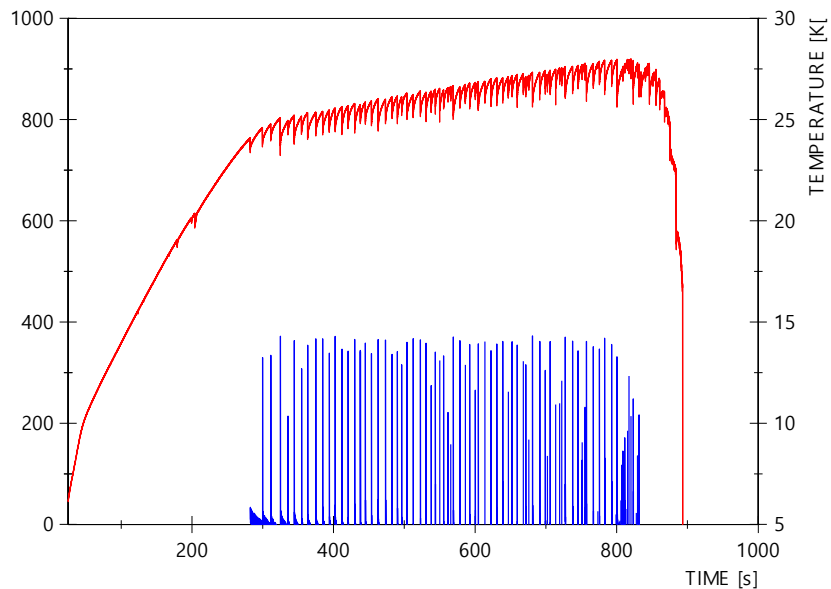
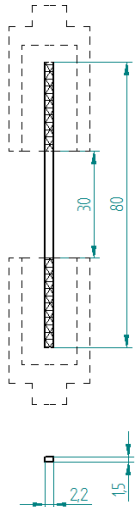
Stroke speed (mm/min)	0.5
Sampling frequency (Hz)	1000
Tensile Test machine	INSTRON TT

CRACOW UNIVERSITET OF TECHNOLOGY

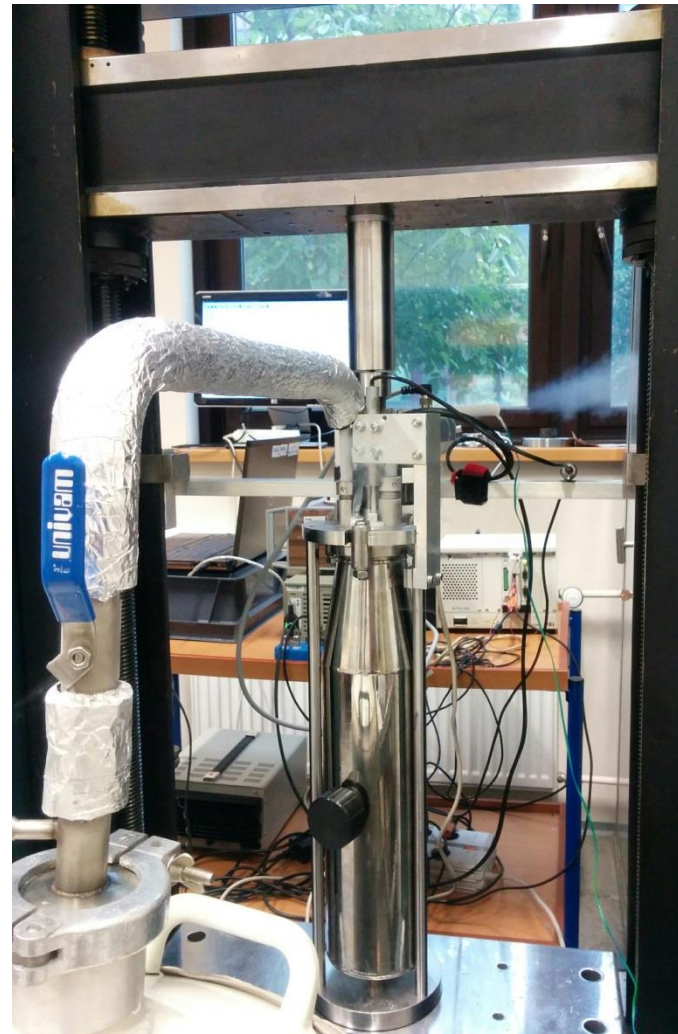
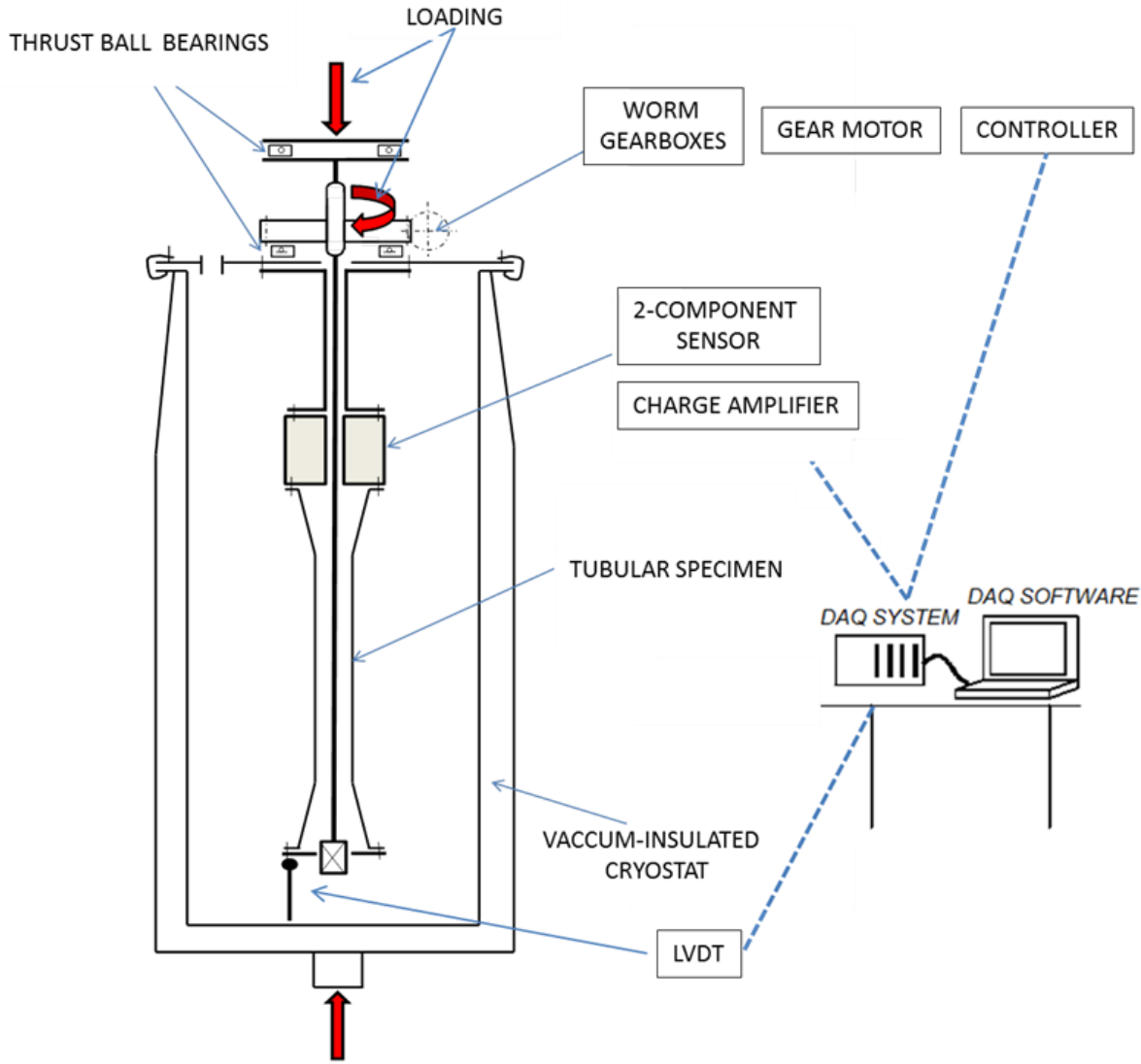


TEST REPORT

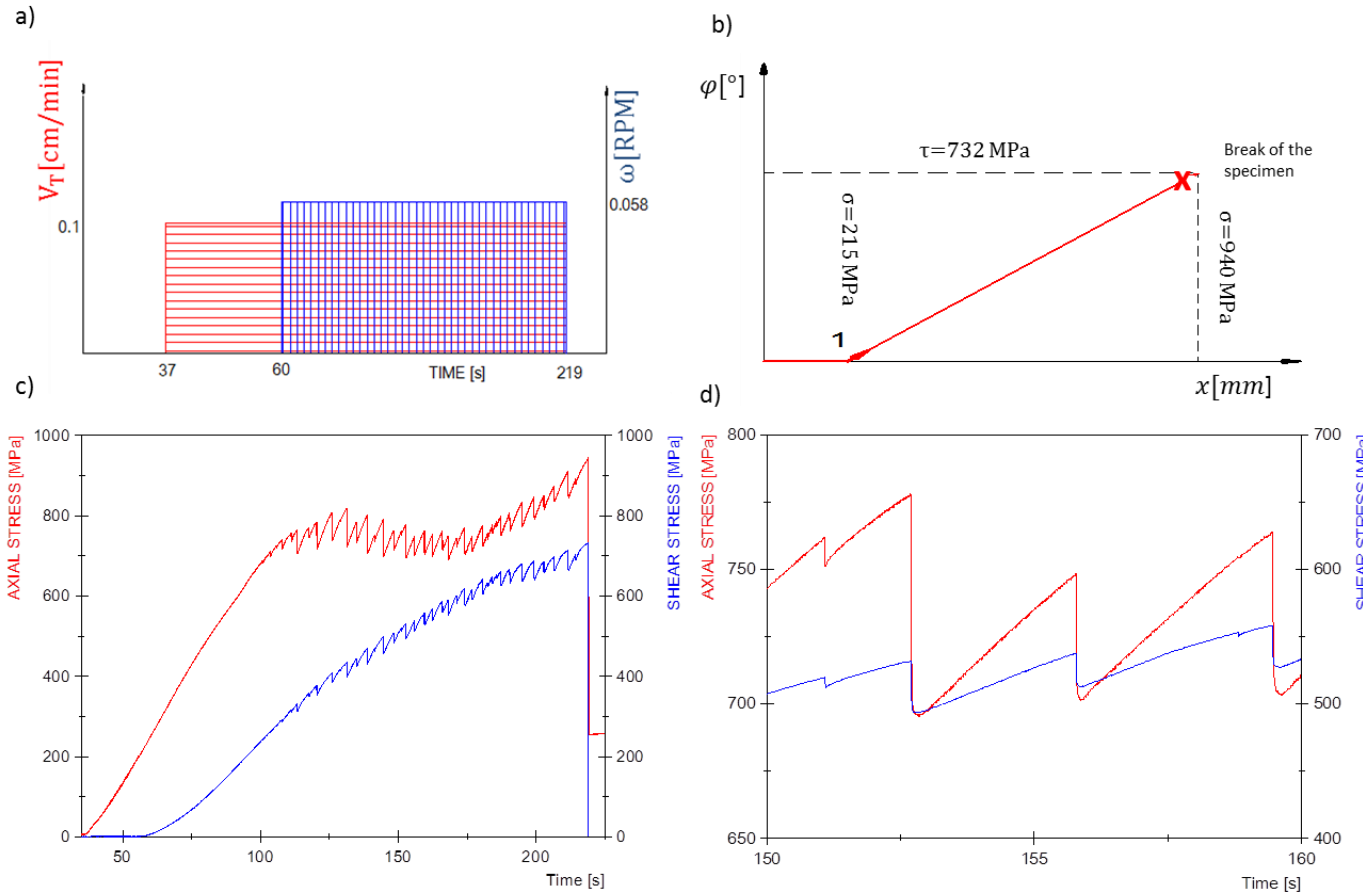
Sample drawing



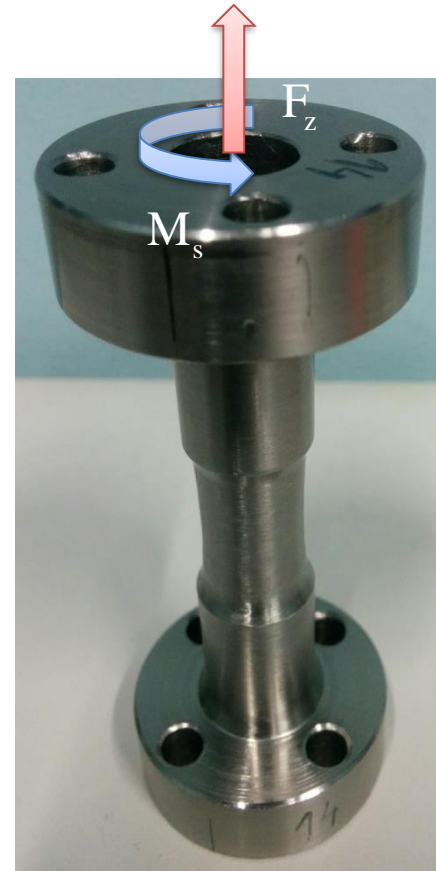
Experimental set-up for combined loading



Experimental results



DPF in the multiaxial regime: a) kinematically controlled combined loads; b) loading path; c); d) test results: combined torsion (red curve) and traction (blue curve) for 304ss



Conclusion

1. Przeprowadzenie testów wytrzymałościowych:
 - a. obciążenie jednoosiowe
 - b. obciążenie złożone, ścieżki nieproporcjonalne
2. Identyfikacja doświadczalna dysypatywnych zjawisk sprężonych w materiałach polikrystalicznych, kompozytowych w kriogenicznym zakresie temperatury:
 - a. DPF
 - b. przemiana RSC-RPC
 - c. ewolucja mikrouszkodzeń

1. Analiza zjawiska DPF ora efektu „stick-slip” w próbkach wykonanych z kompozytu nadprzewodnikowego zawierającego jednokierunkowe włókna (np. Cu/NbTi, Cu/Nb₃Sn)
2. Analiza propagacji mikroszczeliny w materiałach heterogenicznych w kriogenicznym zakresie temperatury
3. Rozbudowa stanowiska do analizy mikrostruktury o moduł EBSD, ferrytoskop
4. Rozbudowa stanowiska do testów wytrzymałościowych o układ do pomiaru emisji akustycznej

